

Студ. А.В. Широков, Н.Н. Бирюкова

Науч. рук. доц. Д.А. Гринюк, ассист. В.В. Лихавицкий
(кафедра автоматизации производственных процессов и электротехники, БГТУ)

**УЧЕТ ДИНАМИКИ И МЕСТА УСТАНОВКИ ПЕРВИЧНОГО
ПРЕОБРАЗОВАТЕЛЯ В СТРУКТУРНЫХ СХЕМАХ
СТАБИЛИЗАЦИИ**

Системы стабилизации технологических параметров состоят обязательно из измерительного преобразователя, регулятора и исполнительного механизма. Свойства реальных контуров регулирования проявляют нелинейные свойства, особенно в случае стабилизации температуры, концентрации и т.д. Однако ввиду небольших колебаний технологических параметров их можно линеаризовать.

Для настройки таких систем используют различные методы: формирование запаса по устойчивости с помощью частотных методов; минимизация интегральных критериев; использование поисковых алгоритмов для обеспечения параметров переходного процесса. И сейчас встает вопрос: что использовать в качестве выходного параметра? Очень редко бывает, что динамические характеристики первичного измерительного параметра можно не учитывать. В некоторых случаях динамические характеристики датчика и исполнительного механизма могут оказывать основное влияние на настройки алгоритма стабилизации. Примером такого случая может служить стабилизация расхода. Особенно когда в трубопроводе турбулентный режим, и приходится использовать сглаживающие фильтры с большими постоянными временем, а в качестве исполнительных механизмов используются клапан с пневматическим и электрическим приводом.

Классическая методика настройки регулятора с помощью частотных методов предполагает перенос передаточной характеристики из обратной связи в прямую после передаточной функции объекта. В большинстве своем настройка считается качественной для технологических параметров, если перерегулирование примерно в районе 20%. Однако данный подход при некотором соотношении между динамикой объекта и измерительного преобразователя может привести к тому, что непосредственно технологический параметр может отклоняться существенно больше, чем непосредственно выходной сигнал на клеммах регулятора.

Для подтверждения наших выводов произведено численное моделирование. Несмотря на возможность наличия сложных динамических характеристик у реальных объектов, в большинстве своем с при-

Секция химической технологии и техники
кладной точки зрения ограничиваются передаточной характеристикой
второго порядка с запаздыванием

$$W_O = \frac{1}{(100p+1)(30p+1)} \exp(-5p),$$

где p – оператор Лапласа.

Поскольку классические частотный методы настройки с помо-
щью расширенных частотных характеристик и показателя колебатель-
ности сопряжены с некоторым субъективизмом, а также плохо алго-
ритмизируются для автономной настройки мы использовали метод ми-
нимизации интегральных критериев градиентным способом.

$$\int e^2 dt \rightarrow \min \quad (1)$$

и

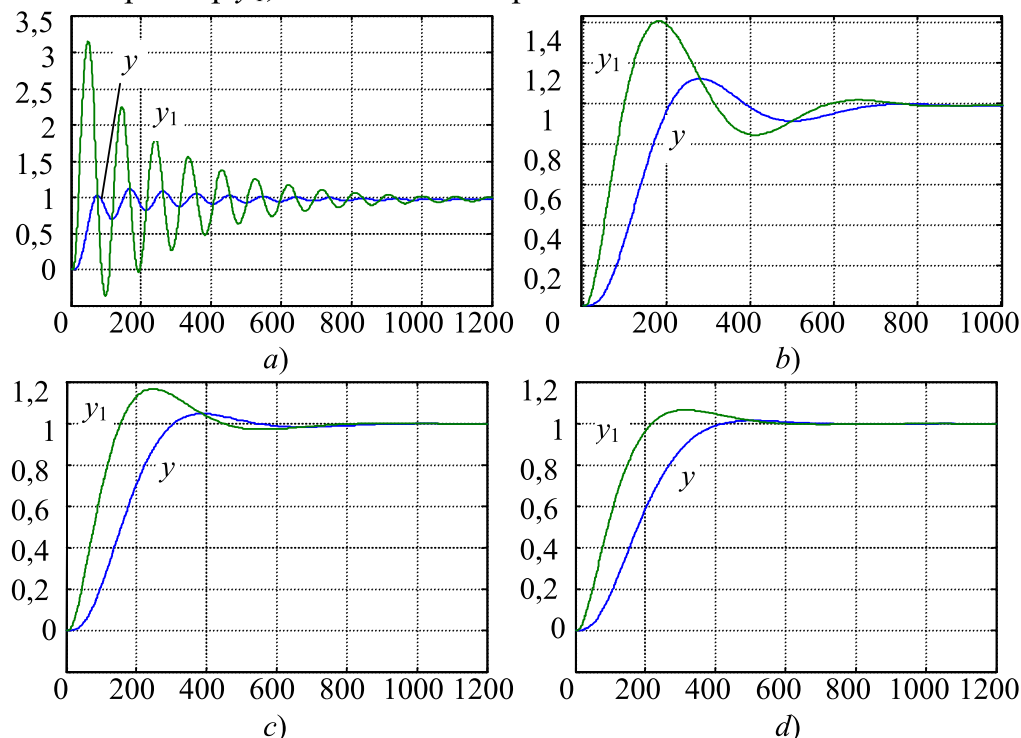
$$\int |e| t^n dt \rightarrow \min \quad (2)$$

где e – ошибка на выходе; t – от начала воздействия; n – [0 1 2].

Постоянную времени датчика меняли в диапазоне [0,1÷100] сек.

Показатель n в критерии потенциально влияет на перерегулиро-
вание. При 0 оно максимально, при 2 минимально.

Некоторые результаты исследований можно увидеть на рис. 1-3.
Поиск настроек осуществлялся по параметру y (рис. 4), а технологиче-
ский параметр y_1 , только анализировался.



**Рисунок 1 – Переходной процесс при запаздывании в 100 сек при настройке
a – по (1), b – по (2) при $n = 0$; c – по (2) при $n = 1$; d – по (2) при $n = 2$**

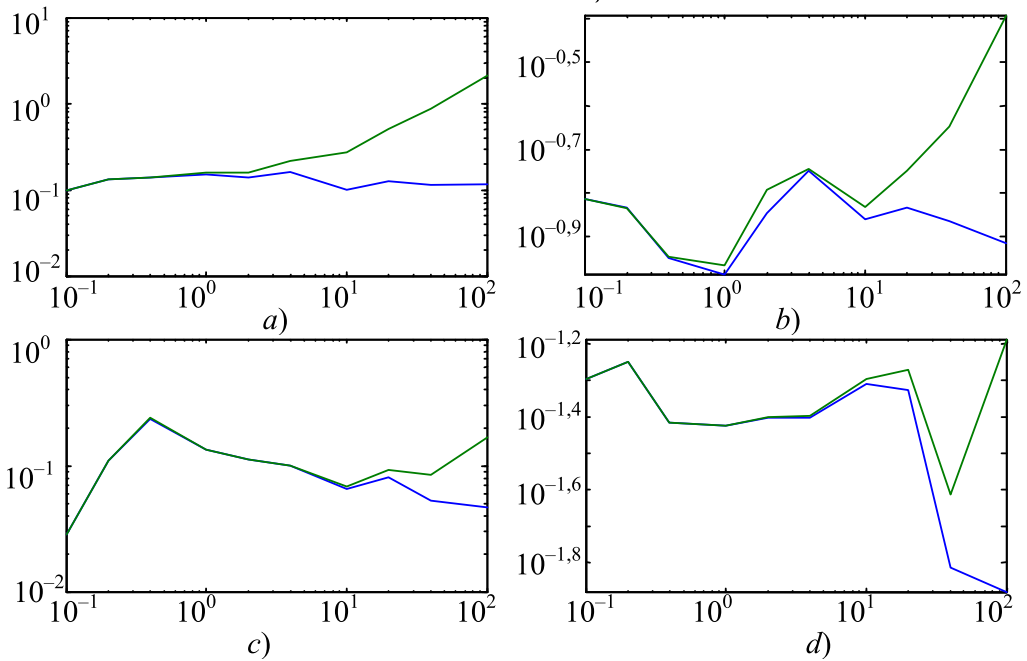


Рисунок 2 – Зависимость перерегулирования от постоянной времени датчика
а – по (1), б – по (2) при $n = 0$; в – по (2) при $n = 1$; г – по (2) при $n = 2$

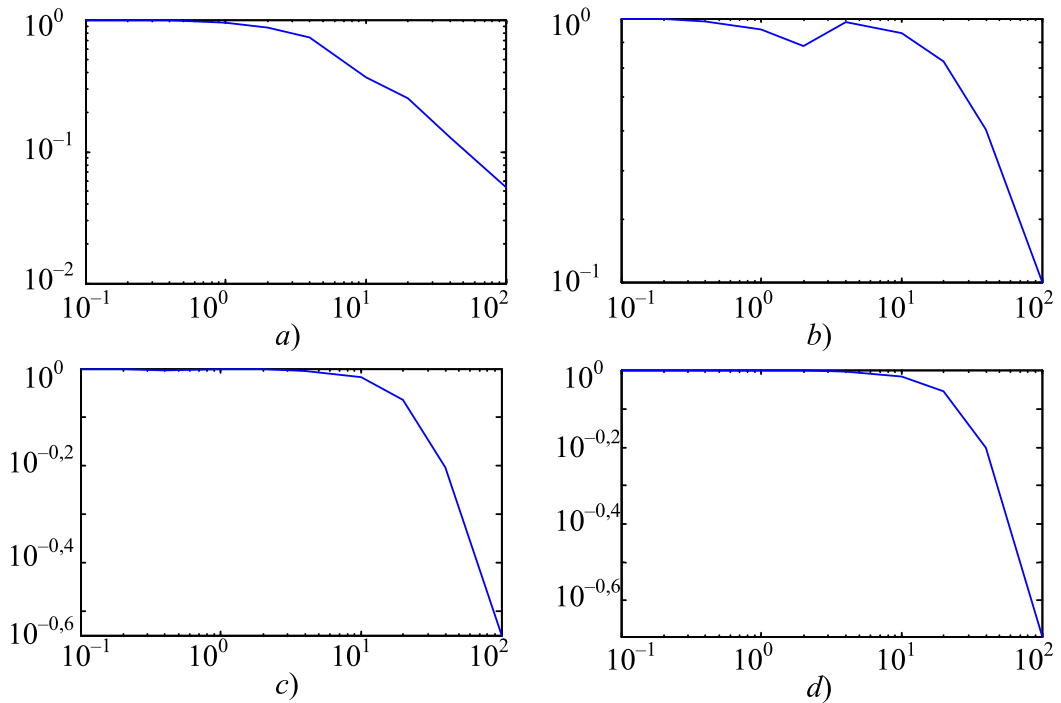


Рисунок 3 – Отношение перерегулирования для y/y_1 от постоянной времени датчика при настройке а – по (1), б – по (2) при $n = 0$; в – по (2) при $n = 1$; г – по (2) при $n = 2$

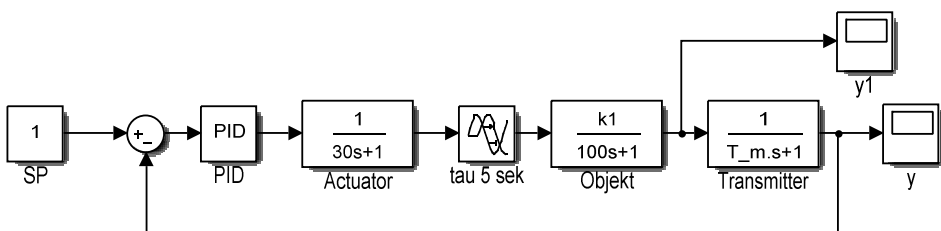


Рисунок 4 – Структурная схема моделирования

Алгоритм исследования состоял из нескольких этапов. В скриптовом файле задавалось значение постоянной времени датчика. Затем производился поиск настроек ПИД-регулятора. Время дифференцирования устанавливалось в постоянном соотношении к времени интегрирования как 1:6. Коэффициент пропорциональности и время интегрирования находились с помощью собственного поискового алгоритма поочередно для каждого критерия.

При настройке по среднеквадратичному отклонению существенные расхождения в динамике y и y_1 , начинаются проявляться 1-2%. Для критерия (2) существенные рассогласования перерегулирования до датчика и после датчика характерны только при соотношении постоянных времени измерительного преобразователя и объекта где-то в 10-20%.

Существует еще один аспект выбора структурного решения и критерии для настройки регулятора. В некоторых технологических процессах непосредственно контролировать параметр не представляется возможным. Особенно это характерно для температуры, который практически всегда является распределенным параметром. В некоторых случаях, например при варке стекла, при сушке и т.д., нет возможности в зону, которая интересует технолога. Знание теплотехнических свойств материалов и конструкции позволяет прогнозировать значение в статике. Однако учет динамических характеристик может быть сопряжен с вероятностью больших ошибок. В этом случае ориентация на переходной процесс без перерегулирования тоже желательна.

Выводы. При настройке системы регулирования надежнее использовать как выходной параметр непосредственно технологический параметр, а не выходное значение измерительного преобразователя. Немаловажным является и аспект выбора критерия настройки. Если динамику датчика трудно оценить (к примеру динамика определяется по экспериментальным данным), то лучше настраивать систему переходной процесс без перерегулирования.